ALBUM FOTOGRAFICO

HOJA DE EJEA DE LOS CABALLEROS

27-12

284

JUNIO/91

FOTO 1. 27-12. G.S.- S.L. 9600. Depósitos de Rambla aterrazados.

FOTO 2. 27-12. G.S.- S.L. 9601. Point bar Zuera- Galocha. Casa Leverne.

FOTO 3. 27-12. G.S.- S.L. 9602. Serie Castillo de la Sora. Formación Alcubierre.

FOTO 4. 27-12. G.S.- S.L. 9603. Point bar. Serie de la Monlora.

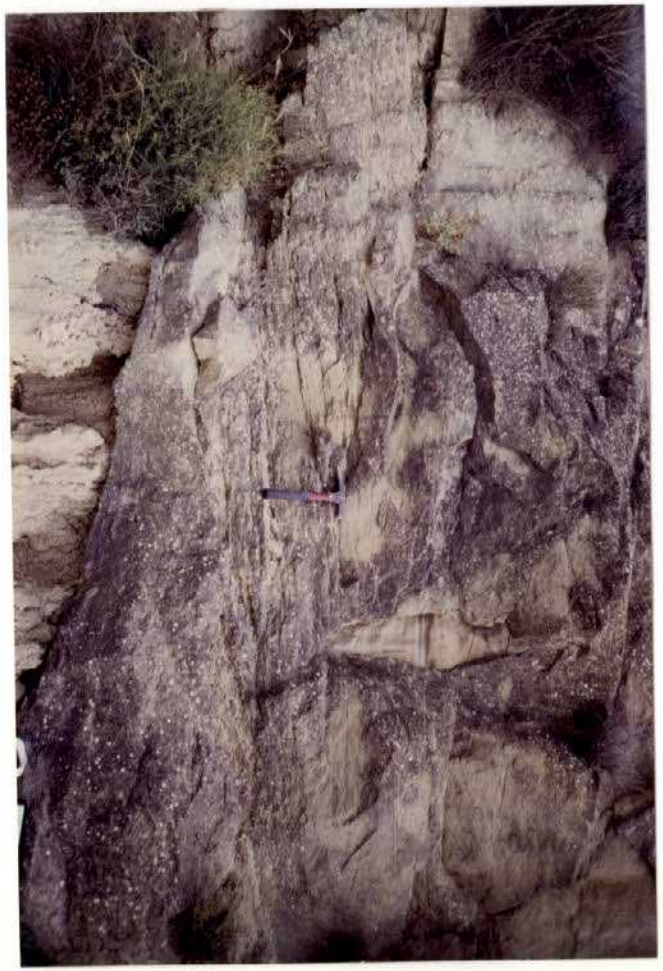




FOTO 5. 27-12. G.S.- S.L. 9604. Depósitos de over bank y dunas. Serie de la Monlora.

FOTO 6. 27-12. G.S.-S.L. 9605. Paleocanales, point bar base erosiva. La Monlora.



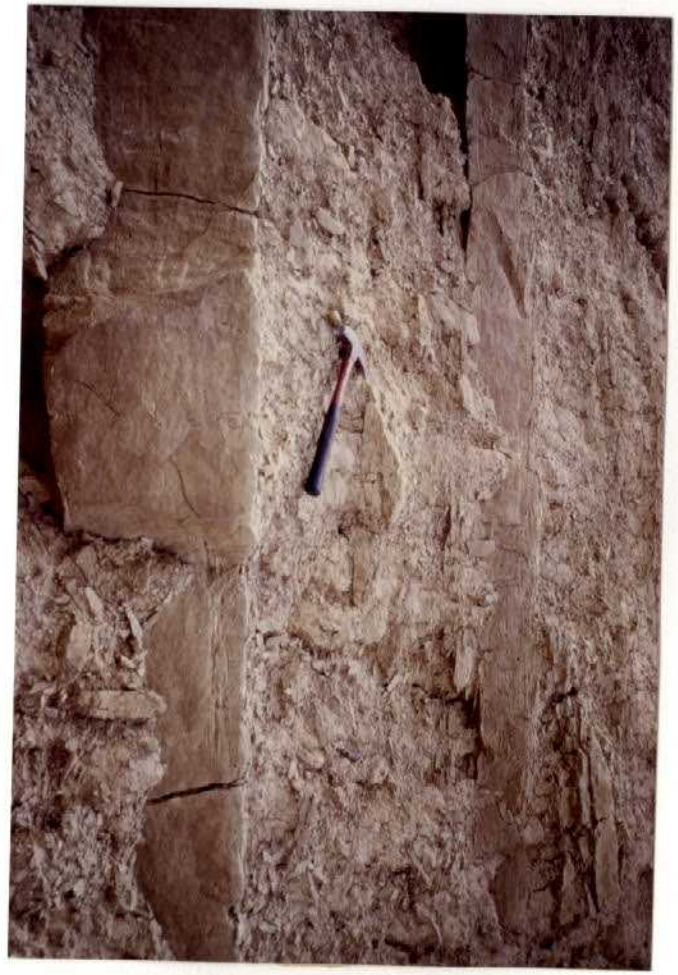


FOTO 7. 27-12. G.S.- S.L. 9606. Paleocanal mioceno. Point bar.

FOTO 8. 27-12. G.S.- S.L. 9607. Terraza plio-cuaternaria y caliche. Monlora.





FOTO 9. 27-12. G.S.- S.L. 9608. Unidad margo-carbonatada (Zuera-Rosel).

FOTO 10. 27-12. G.S.- S.L. 9609. Unidad margo-carbonatada. Rosel.





FOFO 11. 27-12. G.S.- S.L. 9610. Piping y gullying.

FOTO 12. 27-12. G.S.- S.L. 9611. Vista general de las Facies detríticas del Norte.





FOTO 13. 27-12. G.S.- S.L. 9612. Glacis sobre cárcavas.

FOTO 14. 27-12. G.S.-S.L. 9613. Climbing ripples. Serie de la Monlora.





FOTO 15. 27-12. G.S.-S.L- 9614. Point bar. Estructuras de acreción lateral.



FOTO 16. 27-12. G.S.- C.M. 9400. Facies de transición, entre un ambiente deposicional fluvial distal y un ambiente lacustre-palustre, desarrolladas en la unidad Zuera. Obsérvese , en la base, las areniscas rellenando una depresión erosiva y, en el techo, capas de calizas planoparalelas.

FOTO 17. 27-12. G.S.- C-M. 9401. Las Pedrosas. Unidad Rosel. Banco de areniscas de 1m. de espesor. Contienen superficies de acreción lateral. Corresponden a point bars.





FOTO 18. 27-12. G.S.- C.M. 9402. Sierra de Luna. Vista general de las facies margo-carbonatadas, de orogen lacustre-palustre- que constituyen el techo de la unidad Rosel.

FOTO 19. 27-12. G.S.- C.M. 9403. Ctra Sierra de Luna - Castejón de Valdejasa. Capa calcárea que corresponde a una biomicrita y que constituye el techo de la unidad Rosel.





FOTO 20. 27-12. G.S.- C.M. 9404. Ctra Sierra de Luna - Castejón de Valdejasa. Capas centimétricas de areniscas planoparalelas. Internamente poseen laminación paralela y ripples de corriente. Corresponden a capas turbidíticas, que forman la base de la unidad Alcubierre.

FOTO 21. 27-12.G.S.- C.M. 9405. Ctra Sierra de Luna - Castejón de Valdejasa. Facies margo-carbonatada de la unidad Alcubierre, depositadas en un ambiente deposicional lacustre-palustre.





FOTO 22. 27-12. G.S.- C.M. 9406. Ctra Sierra de Luna - Castejón de Valdejasa. Ciclo de somerizaciòn constituido, en la base, por margas y, en el techo por biomicritas con ripples de oscilaciòn y bioturbaciòn producida por raíces. Corresponden a las calizas de la Sora, las cuales pertenecen a la Unidad Alcubiere. Representan facies lacustre-palustres.

FOTO 23.- 27-12 G.S. - C.M. 9407 - Carretera de Sierra de Luna a Castejón de Valdejasa. Detalle de las calizas descritas en la foto 9406. Obsérvense los ripples de oscilaciòn.

FOTO 24. 27 - 12. G.S. - C.M. 9708 - Carretera de Sierra de Luna - Castejòn de Valdejasa. Detalle de las calizas de la Sora. En el techo de los ciclos de somerización descritos en la foto C.M. 9406, se desarrolla bioturbación producida por raìces, tal y como se observa en esta foto.i

FOTO 25.- 27 -12 G.S. - C.M. 9409 Carretera de Sierra de Luna a Castejòn de Valdejasa. Alternancia de calizas y margas, que se desarrollan en la parte superior de la serie. Pertenecen al segundo subciclo de la Unidad Alcubierre.





FOTO 26. 27-12 G.S. - C.M. 9410 - Cruce de carreteras de Luna y de Ejea. Vista desde la parte superior de la Unidad Galocha, dentro del dominio fluvial. Como se puede observar, es fundamentalmente pelítica, con alguna intercalación de paleocanales de arenisca de poco espesor y de capas de arenisca tabulares.

FOTO 27. 27-12 G.S. - C.M. 9411 - Carretera de Luna a Sierra de Luna. Facies carbonatadas, de origen lacustre-palustre, de la Unidad Zuera. Como se puede observar, en este sector el buzamiento de las capas llega a alcanzar los 3,5 grados.





FOTO 28. 27-12. G.S.- C.M. 9412. Carretera de Luna a Sierra de Luna. Visión general de las facies margosas con nódulos de yeso intercalados entre los tramos carbonatados descritos en la foto C.M. 9411. Corresponden a la unidad Zuera.

FOTO 29. 27-12. G.S.- C.M. 9413. Zona de Laberne. Paleocanales de areniscas con superficies de acreción lateral qhe corresponden a point bars. Pertenecen a la unidad Zuera.



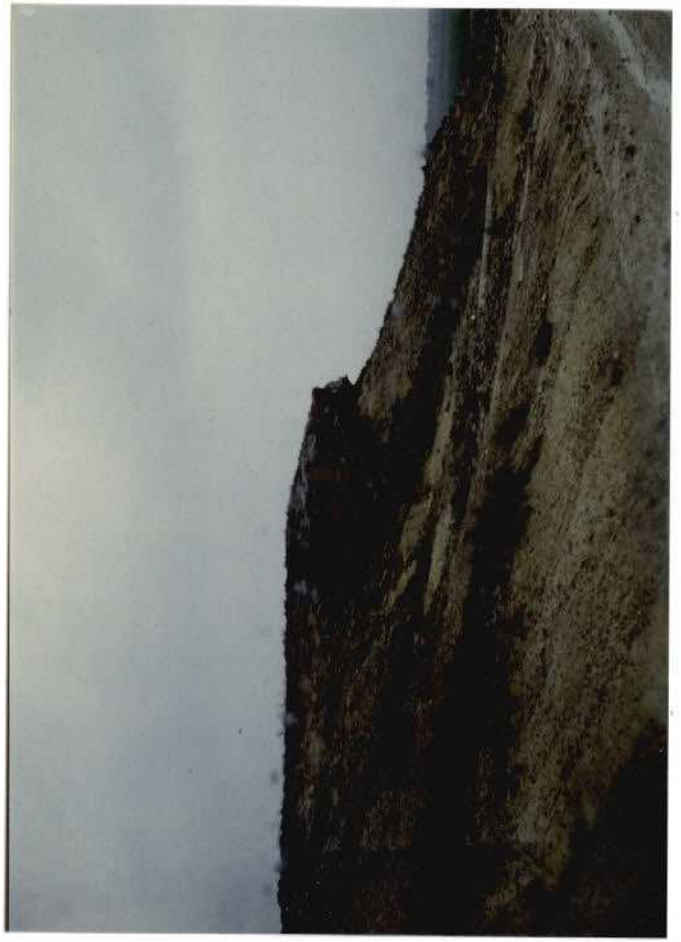


FOTO 30. 27-12. G.S.- C.M. 9415. Carretera de Erla a Valpalmas. Unidad Zuera. Paleocanal de arenisca, con superficies de acreción lateral, el cual erosiona a facies pelíticas de llanura de inundación.

FOTO 31. 27-12. G.S.- C.M. 9416. Carretera Erla a Valpalma. Unidad Zuera. Areniscas con superficies de acreción lateral. Representan el relleno de paleocanales de ríos meandriformes.





FOTO 32. 27-12. G.S.- C.M. 9417. Carretera Erla - Valpalmas. Unidad Zuera. Pleocanales de areniscas con superficies de acreción lateral y superficies de reactivación.corresponden a point bars. Las superficies de reactivación individualizan scroll bars.

FOTO 33. 27-12. G.S.- C.M. 9418. Carretera Erla - Valpalmas. Paleocanal de areniscas con superficies de acreción lateral. Corresponde a point bars. Forman parte de la unidad Zuera.





FOTO 34. 27-12. G.S.- C.M. 9419. Carretera Erla - Valpalmas. Unidad Zuera. Cicatrices erosivas rellenas por facies de desbordamiento. En la parte superior del afloramiento se observa un point bar.

FOTO 35. 27-12 G.S.- C.M. 9420. Carretera Las Pedrosas - Piedratajada. Unidad Zuera. Margas con yesos nodulares. Corresponden a facies de borde de lago salino.





















SIGMA













































